

# Simulation physique de corps rigides avec interaction

Merwan Achibet  
Université du Havre, 2011

## Table des matières

<b>1</b>	<b>Introduction</b>	<b>1</b>
1.1	Les moteurs physiques . . . . .	1
1.2	Travail à accomplir . . . . .	2
1.3	Étude de cas . . . . .	2
1.3.1	La chute . . . . .	2
1.3.2	Le rebond . . . . .	3
1.3.3	Le repos . . . . .	3
<b>2</b>	<b>Dynamique</b>	<b>3</b>
2.1	La composante linéaire . . . . .	3
2.1.1	Variables d'état . . . . .	3
2.1.2	Intégration . . . . .	4
2.1.3	Modélisation d'un corps . . . . .	5
2.2	La composante angulaire . . . . .	6
2.2.1	Variables d'état . . . . .	6
2.2.2	Quantités auxiliaires . . . . .	7
2.2.3	Intégration . . . . .	8
<b>3</b>	<b>Gestion des collisions</b>	<b>8</b>
3.1	Détection . . . . .	8
3.1.1	Détection grossière . . . . .	9
3.1.2	Détection fine . . . . .	9
3.2	Correction . . . . .	11
3.3	Réponse . . . . .	13
<b>4</b>	<b>Le moteur physique</b>	<b>15</b>
4.1	Algorithme général . . . . .	15
4.2	Démonstrations . . . . .	17
4.3	Perspectives d'évolution . . . . .	17
4.3.1	Tunneling . . . . .	17
4.3.2	Partitionnement de l'espace . . . . .	19
<b>5</b>	<b>Conclusion</b>	<b>20</b>

## 1 Introduction

### 1.1 Les moteurs physiques

Invisibles, les phénomènes physiques qui régissent le fonctionnement de notre univers sont pourtant omniprésents et universels. Étudiées depuis des siècles, les lois les décrivant ont été à maintes reprises redéfinies et affinées et il est de nos jours indispensable de pouvoir les modéliser de façon fidèle ou tout du moins d'être capable de les approximer de façon plausible.

Une simulation industrielle visant par exemple à reproduire virtuellement les interactions entre les différentes pièces qui composent une automobile doit être capable de reproduire de façon réaliste la friction des pneumatiques sur le sol, l'influence de la gravité sur le véhicule, le comportement thermique et volumique des fluides qu'il contient ainsi que de nombreux autres aspects mécaniques de son fonctionnement. Le système informatique simulant tous ces facteurs est appelé moteur physique. Dans cet exemple, les enjeux de sécurité et de qualité sont grands et des résultats d'une précision extrême sont exigés. Les calculs à mettre en jeu pour les obtenir peuvent donc se permettre d'être très coûteux et de se baser sur des modélisations mathématiques complexes. Il n'est pas rare que ces processus de simulation soient répartis sur plusieurs machines et s'étalent sur une durée de calcul de plusieurs heures.

A contrario, les moteurs physiques d'autres types de système complexe ne peuvent se permettre une telle latence et doivent fonctionner en temps réel. La contrainte est encore plus forte lorsque le moteur physique doit cohabiter avec d'autres modules gérant différents aspects de l'application. On pense notamment aux jeux vidéo, qui partagent le temps de calcul alloué entre le moteur graphique, le moteur d'intelligence artificielle, la gestion du son, la gestion du réseau, et bien sûr le moteur physique. Dans ce cadre, auquel on peut greffer la réalité virtuelle et ses ap-

plications dérivées, la contrainte la plus importante est le temps d'exécution et non la précision des résultats. On ne cherche plus à obtenir des données exactes mais une représentation plausible du réel. Ainsi, certains raccourcis pourront être tolérés et une part de réalisme est sacrifiée au profit de la vitesse.

La physique est un champ très vaste dont les disciplines vont de l'acoustique à l'électronique. Néanmoins, le spectre d'action des moteurs physiques se limite à la mécanique classique, dite mécanique newtonienne. Ce sous-domaine répond à des questions telles que : Comment réagira cette balle si on la lance sur un mur ? Quelle est l'influence d'une planète sur un objet spatial donné ? Pourquoi un liquide visqueux dispose-t-il d'une faible vitesse d'écoulement ? Quelles déformations engendrera un choc entre deux voitures ?

La mécanique newtonienne est elle-même une vaste discipline et la précision d'une modélisation ne suffit pas à la différenciation entre tous les moteurs physiques. Souvent, un moteur physique sera spécialisé. Certains simuleront les interactions entre corps rigides comme une boîte en plastique tombant sur le sol. Certains simuleront le comportement d'objets déformables comme deux véhicules se percutant. D'autres se concentreront sur les réactions entre liquides ou entre gaz.

## 1.2 Travail à accomplir

L'objectif de ce projet est de concevoir un moteur physique de base permettant de gérer les interactions entre des corps rigides et convexes. On parle de corps rigides dans la mesure où les objets mis en jeu seront indéformables et incassables. Dans un tel contexte, une tasse en porcelaine surmontée d'un bloc de granite d'une tonne ne serait aucunement endommagée. On parle de corps convexes car se limiter dans un premier temps à ce type de structure autorise certaines facilités dans les calculs. Une piste pour étendre la simulation aux solides concaves est de décomposer un corps concave en plusieurs corps convexes.

La contrainte principale de notre application sera le temps. On veut concevoir une simulation exécutable en temps réel de telle façon que si l'utilisateur modifie l'environnement de la simulation à un instant quelconque, une réaction à cette interaction soit immédiatement perceptible. Bien que certains raccourcis dans les calculs ainsi que plusieurs approximations soient acceptés, le fonctionnement

du moteur se base sur des lois bien connues de la mécanique de Newton et ses résultats ne devront pas s'éloigner de façon démesurée de ceux que l'on retrouverait dans une situation réelle.

## 1.3 Étude de cas

L'activité physique d'un corps se divise en plusieurs phases. Afin de les détailler, analysons une situation concrète. Si l'on tenait une balle dans notre main et que nous la lâchions au dessus d'un plan, quelles seraient les étapes que cet objet traverserait avant d'arriver à un état de repos ?

### 1.3.1 La chute

La main s'ouvre et laisse s'échapper la balle. Notre appréhension du monde qui nous entoure nous permet de prévoir que l'objet tombera et accélérera vers le bas. Ce phénomène est quantifié par la seconde loi de Newton.

$$\vec{a} = \frac{1}{m} \sum_i \vec{F}_i$$

Cette règle décrit l'accélération  $\vec{a}$  d'un corps comme étant le produit de l'inverse de sa masse  $m$  et de la somme des forces  $\vec{F}_i$  qui lui sont appliquées. Dans notre exemple, on lâche la balle sans lui donner d'élan initial et la seule influence qu'elle subit au cours de sa chute est celle de la gravité. La gravité terrestre est une force de 9.81N dirigée vers le noyau de la planète mais dans la simulation, on peut la réduire à une force dirigée vers le bas (dans la direction négative de l'axe  $y$ ). Afin de bénéficier d'un moteur physique versatile, la puissance de la gravité pourra être modifiée, pour simuler une situation lunaire par exemple, ou être totalement annulée, pour simuler une situation d'apesanteur. En réalité, la gravité ne sera même pas codée « en dur » mais appartiendra à une liste de forces environnementales qui contiendra toutes les influences que le monde de la simulation fait subir aux corps qu'il contient. On pourra par exemple modéliser la résistance de l'air ou le roulis irrégulier du vent.

Cette observation du comportement de la balle nous oriente sur la façon dont l'on pourra modéliser les déplacements d'objets soumis à des forces extérieures. À chaque corps seront associées des quantités physiques telles que la position, la vitesse et l'accélération. Le rôle principal du moteur physique sera

de faire évoluer ces variables de façon à ce que le résultat d'une simulation s'approche le plus possible de ce qui serait observable dans le monde réel. Dans la première partie de ce compte-rendu, on précisera donc les méthodes employées pour simuler la dynamique des corps.

### 1.3.2 Le rebond

Alors que la balle s'approche du plan, on s'attend naturellement à ce qu'elle entre en contact avec ce dernier et qu'une réaction proportionnelle à la puissance du choc soit produite. Cette réaction dépend de nombreux facteurs, notamment des masses des objets et de leur vitesse respective.

Le moteur physique devra être capable de générer une réaction réaliste dont la détermination passe par une formule présentée dans la seconde partie. Néanmoins, le travail le plus complexe n'est pas de calculer une réponse mais de détecter une collision. Plusieurs processus géométriques devront être mis en place afin de vérifier si une collision a lieu et si tel est le cas, afin de mesurer précisément quels points des deux corps entrent en contact.

Une difficulté supplémentaire vient du fait que la simulation est mise à jour de façon discrète, par pas de temps fixe. Lorsqu'une collision sera détectée entre deux corps, il est presque impossible de se retrouver dans une situation de contact parfait. On aura plutôt des contacts pénétrants au sein desquels l'intégrité physique des corps est corrompue et les objets rentrent l'un dans l'autre. Une des tâches du moteur physique sera de pallier ce problème en recalant les corps dans la position de contact parfait qu'ils auraient dû atteindre.

Cette phase de la vie d'un corps rigide est la plus courte, puisqu'instantanée, mais demandera paradoxalement le plus de travail. Les considérations géométriques qui entrent en jeu, ainsi que les limites à contourner, imposées par l'arithmétique des nombres à virgule flottante, seront détaillées dans la seconde section.

### 1.3.3 Le repos

Les rebonds sur le plan sont de plus en plus faibles, jusqu'à ce que la balle n'ait plus assez d'énergie cinétique pour s'élever à nouveau.

Son état de repos laisse penser que plus aucune force ne s'applique sur elle. Contrairement aux ap-

parences, dans le monde réel ce n'est pas parce qu'un corps est fixe qu'il est libre de toute influence. La gravité n'a pas disparu par magie et pourtant l'accélération de la balle est nulle, puisqu'elle reste immobile. La troisième loi de Newton [10] est là pour démystifier cette situation :

*Tout corps A exerçant une force sur un corps B subit une force d'intensité égale, de même direction mais de sens opposé, exercée par le corps B.*

Autrement dit :

$$\begin{aligned}\vec{F}_{A/B} &= -\vec{F}_{B/A} \\ \vec{F}_{A/B} + \vec{F}_{B/A} &= 0\end{aligned}$$

Ici, la balle subit toujours la gravité mais le plan produit une force inverse qui permet d'annuler tout mouvement. Même si un spectateur aura l'impression que la balle est inactive, son état collisionnel constant lui permet de rester à la surface du plan et d'équilibrer le système. Ce phénomène sera reproductible dans le moteur physique et sera basé sur la même méthode que les collisions classiques.

Puisque l'une des préoccupations majeures de ce projet est la vitesse d'exécution, d'autres considérations plus techniques entreront elles aussi en jeu. Une fois qu'un objet est immobile, par exemple, peut-on le fixer artificiellement et ne plus faire évoluer son état pour économiser des ressources ? Si tel est le cas, quand devra-t-on le réactiver ?

## 2 Dynamique

### 2.1 La composante linéaire

#### 2.1.1 Variables d'état

Commençons par nous concentrer sur l'aspect cinématique d'un corps rigide, c'est à dire son mouvement lorsqu'il n'est soumis à aucune force extérieure. Dans un premier temps, seule la composante linéaire du mouvement sera étudiée et les objets dont nous allons simuler le comportement seront réduits à de simples particules. Les figures présentées tout au long de ce rapport sont en deux dimensions pour des raisons de clarté mais le principe reste similaire lorsqu'étendu à la troisième dimension.

La quantité physique la plus perceptible visuellement pour un spectateur est la position  $\vec{p}$  d'un corps.

Pour mettre en place notre affichage final, c'est cette valeur à tout instant  $t$  de la simulation que l'on veut déterminer. Un corps possède aussi une vitesse  $\vec{v}$ , qui correspond à la variation de sa position pour une unité de temps. On note cette relation sous la forme dérivée :

$$\vec{v} = \frac{\partial \vec{p}}{\partial t}$$

Pareillement, l'accélération  $\vec{a}$ , qui apparaissait plus tôt dans la seconde loi de Newton, correspond à la variation de la vitesse par rapport à une unité de temps.

$$\vec{a} = \frac{\partial \vec{v}}{\partial t}$$

Par transitivité, on confirme que la position est en relation directe avec l'accélération.

$$\vec{a} = \frac{\partial \vec{v}}{\partial t} = \frac{\partial^2 \vec{p}}{\partial t^2}$$

Le travail de la partie dynamique du moteur physique est de déterminer la nouvelle position d'un objet à partir de la connaissance de ses autres variables d'état. Grâce à l'équation précédente, on peut calculer l'accélération d'un objet à partir de sa variation de position. Dans le moteur physique, ce sera en fait l'opération inverse qui devra être effectuée : on connaîtra les forces appliquées, on en déduira par la seconde loi de Newton l'accélération induite puis on calculera le changement de position. Il faut donc exploiter le fait que ces trois quantités partagent aussi des relations de primitive.

$$\vec{p} = \int \vec{v} \partial t = \int \vec{a} \partial t^2$$

Récapitulons. Chacun des corps rigides dont l'on veut simuler l'évolution possèdera trois quantités sous forme vectorielle : position  $\vec{p}$ , vitesse  $\vec{v}$  et accélération  $\vec{a}$ . L'une des tâches de base du moteur physique sera de traduire l'application de forces sur un corps en un changement de sa position. On sait que les quantités énoncées entretiennent des relations de dérivation, il faudra donc procéder par intégration pour calculer la nouvelle position d'un objet à partir de son accélération.

### 2.1.2 Intégration

Maintenant que les trois quantités physiques entrant en jeu dans les mouvements linéaires sont

présentées, nous pouvons étudier de façon plus concrète sur quels calculs se basera l'exercice le plus élémentaire du moteur physique.

Les phénomènes mécaniques du monde réel évoluent de façon continue mais notre simulation ne peut pas s'autoriser ce luxe. Le moteur physique sera donc basé sur une simulation discrète et avancera par pas de temps fixe  $\partial t$ . À chaque mise à jour de la simulation, des intégrations doivent être réalisées pour déterminer le changement d'état d'un corps d'un instant  $t_n$  à un instant  $t_{n+1} = t_n + \partial t$ . Toujours pour des raisons d'efficacité, nous ne pouvons pas nous permettre d'allouer un temps de calcul trop important à cette phase de la mise à jour et nous devons trouver un moyen d'approximer ces intégrales.

Parmi les techniques classiques d'intégration approximative, on trouve l'intégration d'Euler [7]. Cette méthode part du principe que l'on dispose de la valeur initiale  $x_0$  de la quantité que l'on souhaite faire évoluer ainsi que de son taux de changement  $x'$  pour une unité de temps et de la variation de temps  $\partial t$  par rapport à l'état précédent.

$$x_{n+1} = x_n + x' \partial t$$

Si l'on adapte cette méthode à notre problème, on obtient la succession de calculs suivante :

$$\vec{a}_{n+1} = \frac{1}{m} \sum_i \vec{F}_i$$

$$\vec{v}_{n+1} = \vec{v}_n + \vec{a}_{n+1} \partial t$$

$$\vec{p}_{n+1} = \vec{p}_n + \vec{v}_{n+1} \partial t$$

On calcule l'accélération à un instant  $t$  puis on intègre en fonction du temps jusqu'à obtenir la nouvelle position du corps. Ce processus doit être répété à chaque mise à jour du système et ce, pour chaque particule. Il est important de noter que plus  $\partial t$  sera faible et plus les résultats seront précis. Néanmoins, le choix d'un  $\partial t$  trop petit est susceptible de faire perdre au moteur physique son statut d'application temps réel, puisque le programme doit être capable de calculer  $\frac{1}{\partial t}$  itérations de la simulation par seconde.

On aurait pu choisir une autre méthode d'intégration, telle que l'intégration Runge-Kutta d'ordre 4 qui calcule les pentes des subdivisions d'un pas de temps pour obtenir des résultats moins sensible aux perturbations [4], ou bien l'intégration de Verlet qui dispose

d'une meilleure stabilité [1], mais Euler reste le choix le plus économique et fournit des résultats relativement satisfaisants.

Afin de réduire la complexité de la structure informatique qui représentera un corps rigide et de raccourcir les calculs, nous allons introduire la notion d'élan linéaire. Pour un corps rigide, l'élan linéaire  $\vec{L}$  est le produit de sa masse et de sa vitesse. Cette nouvelle quantité a pour avantage majeur de posséder comme primitive la variation de force exercée instantanément sur le corps.

$$\sum_i \vec{F}_i = \frac{\partial \vec{L}}{\partial t} = \frac{\partial(m\vec{v})}{\partial t}$$

Ce qui signifie que l'on peut réduire l'intégration de l'état d'un corps à :

$$\vec{L}_{n+1} = \vec{L}_n + \sum_i \vec{F}_i$$

$$\vec{p}_{n+1} = \vec{p}_n + \frac{1}{m} \vec{L}_{n+1} \partial t$$

L'élan linéaire nous débarrasse de l'accélération dans la définition d'un corps et permet de calculer sa vitesse si besoin en est.

Pour des raisons pratiques, on enregistrera dans chaque corps non pas sa masse, mais l'inverse de celle-ci. L'avantage principal de ce choix est de pouvoir aisément fixer des objets. Si l'on veut qu'un élément de la simulation reste immobile, un mur fixe par exemple, on peut lui attribuer une masse inverse nulle. De cette façon, à chaque intégration il accumulera de l'élan mais sa position restera la même. On élimine par la même occasion les problèmes de division par zéro.

### 2.1.3 Modélisation d'un corps

Nous avons décrit dans la partie précédente les quantités régissant le mouvement linéaire d'une particule ainsi que la façon dont elles évoluent mais le moteur physique que l'on conçoit a pour visée de simuler les comportements de corps rigides à volume convexe. Comment peut-on étendre les principes énoncés pour des particules à ce modèle plus complexe ?

On pourrait en premier lieu penser à représenter un tel corps par une liste de particules, chacune placée à un sommet de l'objet. Chaque particule évoluerait

indépendamment et des contraintes de cohésion entre particules voisines seraient appliquées pour empêcher toute déformation du corps. Cette méthode est envisageable et existe, mais elle présente plusieurs désavantages. Premièrement, les règles de cohésion à mettre en place nécessiteraient des traitements supplémentaires, et donc un temps de calcul plus long. Deuxièmement, un corps devrait passer par autant d'intégrations qu'il a de particules à chaque mise à jour. Il existe une solution plus simple et plus élégante qui permet de réduire les mouvements d'un corps rigide à ceux d'une unique particule judicieusement placée.

Introduisons en premier lieu la notion de repères absolu et local. Le repère absolu est le référentiel orthonormé dont l'origine sert de centre à l'environnement de la simulation. Un repère local est un référentiel qui est unique à chaque corps et dont l'origine se situe à l'intérieur même de cet objet. La position exacte de l'origine du repère local dépend de la position des sommets qui forment l'objet mais il ne s'agit pas d'un simple centre géométrique puisque la masse de chaque sommet entre aussi en jeu. Cette position se nomme le centre de masse, ou barycentre, et sera calculée dans le repère absolu par la formule suivante, avec  $M$  la masse totale des sommets du corps,  $m_i$  et  $\vec{p}_i$  respectivement la masse et la position du sommet  $i$  dans le repère absolu :

$$\vec{C} = \frac{1}{M} \sum_i m_i \vec{p}_i$$

Une fois le centre de masse déterminé, la position locale  $\vec{r}_i$  d'un point quelconque  $i$  peut être calculée en fonction de sa position absolue  $\vec{p}_i$  par :

$$\vec{r}_i = \vec{p}_i - \vec{C}$$

La figure 1 nous montre la position qu'un point  $x$  d'un corps peut prendre par rapport à chaque repère :  $\vec{p}_i$  correspond à sa position dans son repère local tandis que  $\vec{p}_a$  est celle dans le repère absolu.

Le centre de masse est l'unique position que nous devons faire évoluer par intégration, quelle que soit la complexité de la structure d'un corps. Il reste encore néanmoins à considérer le pendant angulaire de l'aspect dynamique d'un objet.

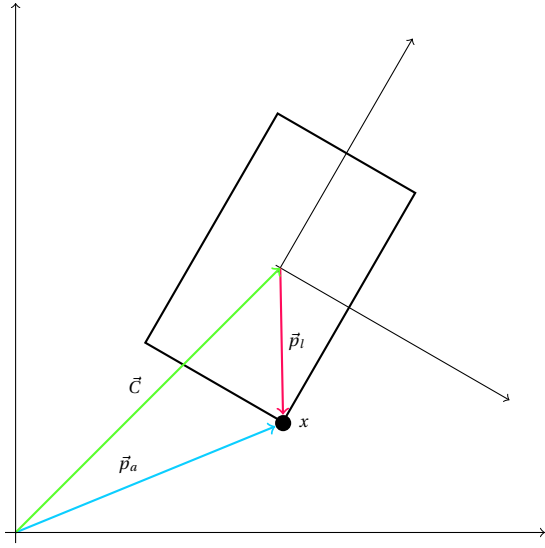


FIGURE 1 – Les repères absolu et local d'un corps rectangulaire.

## 2.2 La composante angulaire

### 2.2.1 Variables d'état

Le modèle que nous avons défini est encore incomplet puisqu'il ne prend pas en compte la composante rotationnelle des mouvements dont l'on peut être témoin dans un environnement réel. Les particules étant de simples points flottants dans l'espace, cela ne posait pas de problème précédemment mais le moteur physique que l'on conçoit doit gérer des volumes plus complexes. Imaginons une boîte cubique que l'on lancerait devant soi, si aucune rotation n'apparaît (si la base de la boîte reste parallèle au sol), l'imitation du réel que l'on souhaite reproduire perd toute crédibilité.

Les quantités physiques entrant en jeu dans la décomposition d'un déplacement angulaire sont analogues à celles présentées dans la partie traitant de la dynamique linéaire : à la position et à l'élan linéaire correspondent l'orientation et l'élan angulaire.

De la même façon que la position représentait visuellement l'état d'un corps au sein de la composante linéaire, un corps doit posséder une orientation. En deux dimensions, une valeur représentant l'angle du corps par rapport à un axe fixe suffirait à décrire l'orientation d'un objet mais pas dans notre environnement en trois dimensions. Le repère local d'un corps a été introduit dans la partie précédente et se

résumait à un centre de masse faisant office d'origine, mais un repère possède aussi des axes et ceux du repère local ne sont pas nécessairement alignés avec ceux du repère absolu. Pour représenter la direction des axes du repère local, et donc l'orientation du corps à qui il appartient, on utilise une matrice  $R$  de dimension 3 dans laquelle chaque vecteur colonne correspondra à un des axes du repère local. Pour illustrer ces propos, analysons la matrice identité d'ordre 3, qui correspond à la matrice d'orientation d'un corps parfaitement aligné avec les axes du repère absolu et n'ayant encore subi aucune rotation.

$$\begin{pmatrix} 1 & 0 & 0 \\ 0 & 1 & 0 \\ 0 & 0 & 1 \end{pmatrix} \rightarrow \begin{pmatrix} 1 \\ 0 \\ 0 \end{pmatrix} \begin{pmatrix} 0 \\ 1 \\ 0 \end{pmatrix} \begin{pmatrix} 0 \\ 0 \\ 1 \end{pmatrix}$$

Si l'on isole les vecteurs colonnes de cette matrice identité, on remarque que chacun correspond à un des axes du repère absolu. Le premier vecteur colonne d'une matrice d'orientation correspondant à l'axe  $x$  du repère local. Il en est de même pour la seconde colonne avec l'axe  $y$  et la troisième colonne avec l'axe  $z$ .

La matrice d'orientation contient les directions des axes du repère local, or on calcule la position des sommets d'un corps grâce à la position de son centre de masse et à son orientation. Il est donc primordial d'attacher un soin particulier à la validité de cette matrice si l'on veut éviter toute déformation du solide ou tout résultat incorrect. L'arithmétique des nombres à virgule flottante impose ici son premier effet négatif. En effet, à chaque intégration de l'état d'un corps, de légères erreurs de calcul apparaissent, principalement sur la matrice d'orientation. L'effet est infime mais ces erreurs s'accumulent à chaque itération, jusqu'à devenir visuellement perceptibles. Le problème vient du fait qu'avec chaque mise à jour de la simulation, les axes du repère local (donc les vecteurs colonne de la matrice) perdent progressivement de leur normalité et de leur orthogonalité. En conséquence, l'orientation n'est pas aussi précise qu'on le souhaiterait, pire, l'objet est gravement déformé lorsqu'on le dessine.

Afin de contrer cet effet indésirable, on ajoutera deux étapes de correction à la fin de chaque intégration. Premièrement, il nous faut normaliser les axes du repère local. Chaque axe correspondant à un vecteur colonne de la matrice d'orientation, il suffit de les extraire un par un et de recalculer leur magnitude pour s'assurer de leur normalité. En second

lieu, il sera nécessaire de réorthogonaliser le repère local, autrement dit de s'assurer que ses axes restent orthogonaux entre eux. Pour cela, on orthogonalisera la matrice d'orientation par le processus de Gram-Schmidt [6], une méthode d'orthogonalisation fonctionnant par projection itérative des axes les uns sur les autres.

Maintenant que l'orientation d'un corps a été définie, penchons nous sur l'élan angulaire. On pourrait utiliser vitesse et accélération angulaires en tant que variables d'état, mais comme pour la dynamique linéaire on choisit de remplacer ces deux valeurs par un unique élan angulaire. L'élan angulaire  $\vec{A}$  possède comme primitive la variation de force exercée sur un corps. Mais attention, sa définition diffère de l'élan linéaire dans la mesure où il n'est en relation qu'avec la composante angulaire d'une force. En effet, il est primordial de faire la distinction entre l'influence linéaire et l'influence angulaire qu'une force exerce sur un corps. Quel que soit le point d'un objet sur lequel une force est exercée, la quantité d'élan linéaire ajoutée est la même. Par contre, la quantité d'élan angulaire transmis par une force dépend de son point d'application ; plus précisément de son excentricité par rapport au centre de masse. Imaginons une boîte cubique flottant en état d'apesanteur et dont la masse est également répartie sur tous les sommets (le centre de masse se situera donc en son centre géométrique). Si l'on exerce une légère poussée sur le milieu d'une de ses faces alors la boîte subira une translation. Si l'on applique maintenant une pression toujours dans la même direction mais cette fois sur l'un des coins de la boîte, la même translation sera accompagnée d'une rotation autour du centre de masse. On formule la composante angulaire d'une force par le couple  $\vec{\tau}$ , qui dépend de la position  $\vec{C}$  du centre de masse et de la position  $\vec{x}$  du point d'application de la force  $\vec{F}$  dans le repère absolu.

$$\vec{\tau} = (\vec{x} - \vec{C}) \times \vec{F}$$

Lorsqu'une force est appliquée à un objet, elle est décomposée en sa composante linéaire et en sa composante angulaire. Ces deux quantités sont ensuite stockées dans des accumulateurs de force et de couple, qui seront remis à zéro après chaque intégration. Ici,  $\sum_i \vec{\tau}_i$  correspond à la somme des composantes angulaires des différentes forces  $\vec{F}_i$  subies pendant une itération. Le  $\sum_i \vec{F}_i$  de l'intégration de la composante linéaire vue plus tôt correspond quant à lui

à la somme des composantes linéaires.

$$\vec{A}_{n+1} = \vec{A}_n + \sum_i \vec{\tau}_i$$

$$\vec{L}_{n+1} = \vec{L}_n + \sum_i \vec{F}_i$$

### 2.2.2 Quantités auxiliaires

On sait désormais qu'un corps possède une orientation et un élan angulaire, on sait aussi comment passer de l'application de forces à une variation d'élan angulaire. Néanmoins, l'intégration des quantités angulaires d'un objet n'est pas aussi directe que sa version linéaire. Nous avons encore besoin de faire appel à plusieurs quantités auxiliaires, telles que le tenseur d'inertie local, le tenseur d'inertie absolu et la vitesse angulaire, avant de mesurer l'étendue de la variation d'orientation induite par des influences extérieures.

Le moment d'inertie d'un corps représente la résistance qu'il oppose lorsque l'on le fait tourner autour d'un de ses axes. Un tenseur d'inertie est une matrice de dimension 3 dont chaque vecteur colonne correspond au moment d'inertie d'un axe du corps [2]. Il dépend directement de la forme de l'objet considéré et affecte ses axes de rotation principaux. Pour calculer un tenseur d'inertie local, on doit effectuer des intégrations par rapport au volume du solide considéré et à la distribution de sa masse. Ces opérations sont un travail complexe en elles-mêmes mais la plupart des manuels de mécanique listent en annexe les tenseurs d'inertie usuels. Ci-suit, en exemple, le tenseur d'inertie local d'une boîte, avec  $d_i$  son étendue le long de l'axe  $i$  et  $m$  sa masse.

$$\begin{pmatrix} \frac{m}{12}(d_y^2 + d_z^2) & 0 & 0 \\ 0 & \frac{m}{12}(d_x^2 + d_z^2) & 0 \\ 0 & 0 & \frac{m}{12}(d_x^2 + d_y^2) \end{pmatrix}$$

Le tenseur d'inertie local d'un corps sera attribué lors de la phase de préparation des solides et ne changera pas au long de la simulation, quel que soit l'état du corps.

Le tenseur d'inertie absolu est une autre quantité auxiliaire, il doit être recalculé à chaque mise à jour puisqu'il dépend du tenseur d'inertie local et de l'orientation actuelle du corps. La formule suivante, avec

$I_l$  le tenseur d'inertie local et  $R$  la matrice d'orientation, nous fournit le tenseur d'inertie absolu  $I_a$ .

$$I_a = R I_l^t R$$

On peut exprimer la vitesse angulaire  $\vec{\omega}$  comme le produit de l'inverse du tenseur d'inertie absolu et de l'élan angulaire. Cette quantité peut être visualisée comme un vecteur dont la direction correspond à un axe et dont la magnitude traduit le nombre de rotations par unité de temps autour de cet axe. Il reste à lier vitesse angulaire et matrice d'orientation. Commençons par introduire l'opérateur  $*$  [11], qui transforme un vecteur en matrice, tel que :

$$\begin{pmatrix} x \\ y \\ z \end{pmatrix}^* = \begin{pmatrix} 0 & -z & y \\ z & 0 & -x \\ -y & x & 0 \end{pmatrix}$$

Puisque  $\vec{\omega}$  correspond à une variation d'orientation le long d'un axe, on peut écrire la variation complète d'orientation comme :

$$\frac{\partial R}{\partial t} = \begin{pmatrix} \vec{\omega}^* \begin{pmatrix} R_{xx} \\ R_{xy} \\ R_{xz} \end{pmatrix} & \vec{\omega}^* \begin{pmatrix} R_{yx} \\ R_{yy} \\ R_{yz} \end{pmatrix} & \vec{\omega}^* \begin{pmatrix} R_{zx} \\ R_{zy} \\ R_{zz} \end{pmatrix} \end{pmatrix}$$

On peut extraire la vitesse angulaire et simplifier cette formulation en :

$$\frac{\partial R}{\partial t} = \vec{\omega}^* R$$

### 2.2.3 Intégration

Toutes les quantités nécessaires à l'intégration de la composante angulaire d'un corps sont désormais réunies.

$$\vec{A}_{n+1} = \vec{A}_n + \sum_i \vec{\tau}_i$$

$$I_a = R_n I_l^t R_n$$

$$\vec{\omega} = I_a^{-1} \vec{A}_{n+1}$$

$$R_{n+1} = R_n + \vec{\omega}^* R_n \partial t$$

On part de la somme des composantes angulaires de chaque force subie par le corps pendant une itération et on obtient le nouvel élan angulaire. Ce dernier,

utilisé conjointement avec l'inverse du tenseur d'inertie absolu, fournit la vitesse angulaire du corps. Il reste alors à mettre à jour la matrice d'orientation en lui ajoutant le produit de  $\vec{\omega}^*$  et de l'ancienne orientation, le tout multiplié par le pas de temps.

Le second calcul de cette intégration nous fournit le tenseur d'inertie absolu, mais il est encore nécessaire de l'inverser pour calculer la vitesse angulaire. Afin de nous débarrasser de cette opération supplémentaire, un corps contiendra non pas un tenseur d'inertie local, mais son inverse. On remplace donc ce calcul par :

$$I_a^{-1} = (R_n I_l^t R_n)^{-1} = R_n I_l^{-1} R_n$$

## 3 Gestion des collisions

Maintenant que la première section nous a éclairé sur la façon dont les corps de la simulation évoluent indépendamment les uns des autres, il est temps de les faire interagir entre eux. Cette phase se divise en trois étapes. Premièrement, le moteur physique doit être capable de déterminer si une collision a lieu entre deux corps. Ensuite, il doit pouvoir corriger leur état afin de contre-balancer les décalages dus à l'intégration discrète de l'environnement. Finalement, une force de séparation doit être calculée et appliquée aux deux objets afin de simuler le rebond ou le repos.

### 3.1 Détection

Une collision fait entrer en jeu deux corps rigides dont l'intégrité physique a été corrompue, autrement dit : les corps rentrent l'un dans l'autre. Nous allons définir un traitement à appliquer à deux objets pour savoir si tel est le cas et ce, de façon certaine. Néanmoins, bien que l'algorithme que nous allons présenter a fait ses preuves dans le domaine des simulations physiques, il faut garder à l'esprit que ce test sera exécuté à chaque intégration de la simulation et ce, pour chaque paire de solides. Dans de telles circonstances, l'usage d'un algorithme a priori rapide peut se révéler désastreux pour les performances du moteur.

Nous faisons donc le choix de séparer la détection de collision en deux étapes : une détection grossière et une détection fine. La détection grossière fera usage d'un algorithme approximatif mais économique qui informe de la possibilité d'une collision, si le résultat est positif alors on exécute la détection fine pour confirmer ou infirmer le contact de façon certaine.



### 3.1.1 Détection grossière

Le but de la phase de détection grossière (*broad-phase collision*) est de renseigner sur la possibilité d'une collision et ce, à moindre coût. Si une collision a réellement lieu, le résultat sera toujours positif, néanmoins il est aussi possible que le résultat soit positif sans qu'aucune collision ne prenne vraiment place. Dans ce dernier cas, la détection fine invalidera la collision.

On se base sur l'utilisation de boîtes englobantes, ou AABB (*axis-aligned bounding boxes*), pour détecter l'éventualité d'un contact. Les boîtes englobantes sont des volumes alignés avec les axes du repère global qui contiennent tous les sommets d'un corps. Puisque tous les sommets de l'objet sont contenus dans l'AABB, il est évident que tous les points du corps le seront aussi. Pour savoir si deux corps rentrent possiblement en collision, on effectue un test de collision entre leur boîte englobante.

L'algorithme 1 construit la boîte englobante d'un corps. Le principe est simple : on enregistre pour chaque axe la position du sommet du corps le plus éloigné dans la direction négative (*min*) et la position de celui qui est le plus éloigné dans la direction positive (*max*).

---

#### Algorithme 1 : Construction d'une AABB

---

**Entrées :** Un corps  $C$   
**Sorties :** Une boîte englobante  $B$

**pour chaque** axe  $A \in \{x, y, z\}$  **faire**  
     $B.A.min \leftarrow +\infty$   
     $B.A.max \leftarrow -\infty$

**pour chaque** axe  $A \in \{x, y, z\}$  **faire**  
    **pour chaque** sommet  $S \in C$  **faire**  
        **si**  $S.A < B.A.min$  **alors**  
             $B.A.min \leftarrow S.A$   
        **si**  $S.A > B.A.max$  **alors**  
             $B.A.max \leftarrow S.A$

**retourner**  $B$

---

Le test vérifiant la collision entre deux boîtes englobantes est très rapide puisque qu'il tire parti du fait que les boîtes sont alignées avec le repère absolu. Pour vérifier que deux AABB sont en état d'interpénétration, on utilise le théorème des axes de séparation. Selon ce dernier, deux boîtes alignées sur les axes du repère absolu n'entrent pas en contact si leur projection sur au moins un axe ne se superposent pas. En

deux dimensions, on peut visualiser ce théorème par le fait que si une ligne parallèle à un des axes du repère global sépare deux corps, alors ils ne peuvent pas être en état de collision. En trois dimensions le principe est le même, à la différence que l'on parle de plan de séparation. L'algorithme 2 utilise ce principe.

---

#### Algorithme 2 : Détection grossière

---

**Entrées :** Deux boîtes englobantes  $B1$  et  $B2$   
**Sorties :** Un booléen

**pour chaque** axe  $A \in \{x, y, z\}$  **faire**  
    **si**  $B1.A.min > B2.A.max$  **ou**  
         $B1.A.max < B2.A.min$  **alors**  
        **retourner** *faux*

**retourner** *vrai*

---

La figure 2 illustre les trois situations possibles impliquant deux corps ; un cercle et un rectangle. Sur la sous-figure *a*, les boîtes englobantes ne rentrent pas en collision car leur projection sur l'axe des abscisses ne se superposent pas. Il est donc impossible que les corps qu'elles contiennent soient eux-mêmes en état de collision, il est inutile d'aller plus loin et de lancer la détection fine.

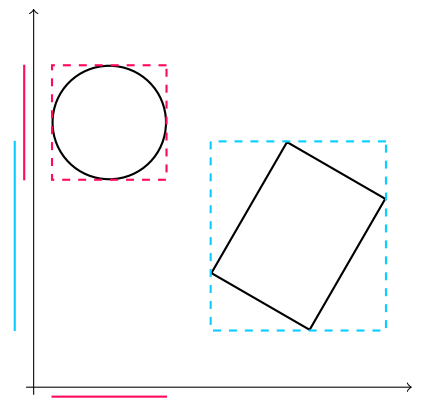
La sous-figure *b* montre qu'il est possible dans certaines configurations que les boîtes englobantes entrent en collision sans que ce soit nécessairement le cas pour les corps qu'elles contiennent. Les boîtes sont en état d'interpénétration puisque leurs projections ne se séparent sur aucun axe. Ici, la détection grossière renvoie un résultat positif et c'est l'algorithme de détection fine qui réfutera la collision entre les deux solides.

La sous-figure *c* illustre quant à elle un troisième cas de figure dans lequel les boîtes entrent en collision et les corps aussi. La détection fine sera appelée et confirmera la collision.

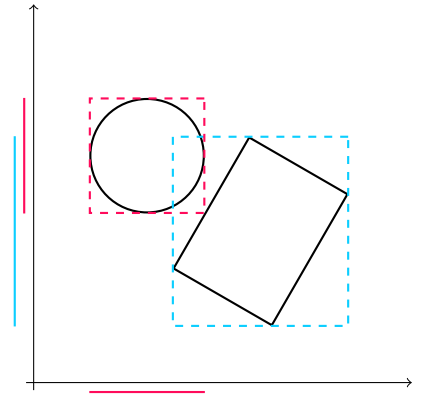
### 3.1.2 Détection fine

La phase de détection fine (*narrow-phase collision*) est plus coûteuse mais détermine de façon certaine si deux corps sont en collision.

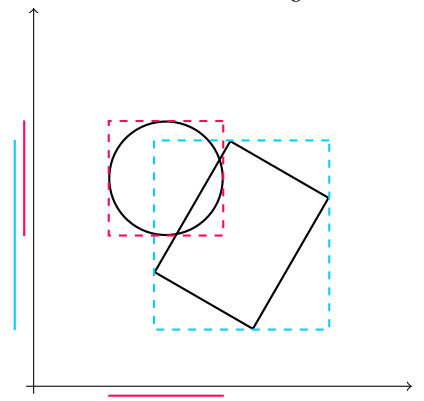
Introduisons en premier lieu la somme de Minkowski, une opération mathématique notée  $A \oplus B = \{a + b \mid a \in A, b \in B\}$  avec  $A$  et  $B$  deux corps. On peut résumer la somme de Minkowski en un balayage de chaque corps par l'autre. Nous utiliserons une variante de cette opération, la différence



(a) Les boîtes ne se touchent pas, on est certain qu'aucune collision entre les corps n'a lieu.



(b) Les boîtes se touchent et pourtant les corps ne sont pas en collision. La détection fine ré-  
futura le résultat de la détection grossière.



(c) Les boîtes se touchent et les corps qu'elles contiennent aussi. La détection fine validera le  
résultat de la détection grossière.

FIGURE 2

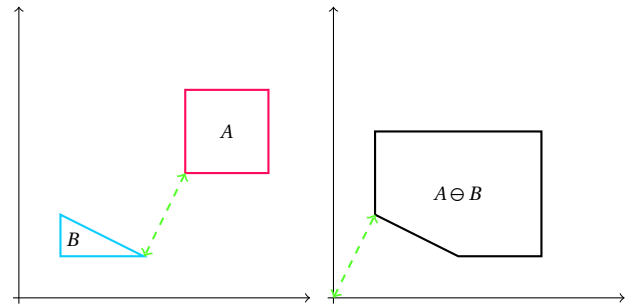


FIGURE 3 – Différence de Minkowski d'un rectangle et d'un triangle.

de Minkowski, notée  $A \ominus B = A \oplus (-B)$ . La propriété de cette opération qui nous intéresse le plus est le fait que la plus petite distance entre les points qui la forment et l'origine du repère absolu est égale à la plus petite distance entre les corps  $A$  et  $B$ . La figure 3 illustre cette caractéristique. Nous pouvons exploiter cette singularité pour déterminer si deux corps entrent en collision. En effet, si la distance minimum entre les deux corps est supérieure à zéro, alors aucune collision ne peut possiblement exister. Si au contraire, la distance minimum est nulle, alors les deux objets sont en état d'interpénétration.

L'algorithme de détection fine consistera donc à se baser sur la différence de Minkowski  $M$  entre deux corps pour en calculer la plus petite distance la séparant de l'origine du repère absolu. Dans cette optique, on utilise l'algorithme GJK, pour *Gilbert-Johnson-Keerthi algorithm*. De façon générale, cet algorithme est capable de calculer efficacement la plus petite distance entre la coque formée par un nuage de points et un autre point quelconque de l'espace. Dans le cadre de notre problématique, le nuage de points correspond aux sommets de  $M$  et le point cible correspond à l'origine du repère absolu.

GJK se base sur l'utilisation de deux éléments : le simplex et le point de support. Un simplex d'un corps est une structure géométrique entièrement contenue dans ce dernier et étant caractérisée par une dimension. Un simplex de dimension 0 est un sommet, un simplex de dimension 1 est une arête, un simplex de dimension 2 est un triangle et un simplex de dimension 3 est un tétraèdre. Un corps de dimension  $d$  peut contenir un simplex de dimension  $d$  au maximum. Au départ de l'algorithme on part d'un simplex de base choisi aléatoirement (souvent un som-

met, donc un simplex de dimension 0). Ensuite, et à chaque étape, on augmente sa dimension pour l'agrandir jusqu'à ce que le point de  $M$  le plus proche de l'origine en fasse partie. À la fin de chaque étape, on détermine le point du simplex actuellement le plus proche de l'origine. Afin d'alléger la charge de calcul, il est aussi nécessaire de réduire la dimension du simplex dès que des sommets ne sont plus nécessaires à la définition du point actuellement le plus proche. En effet, plus la dimension du simplex est faible et plus les calculs géométriques associés à la détermination du point du simplex actuellement le plus proche sont rapides.

Un point de support est un sommet de  $M$  fourni par une fonction de support  $S(\vec{d})$ , avec  $\vec{d}$  la direction du point du simplex actuellement le plus proche de l'origine à l'origine. La fonction de support est employée dans l'algorithme principal de GJK pour obtenir le sommet de  $M$  le plus extrême dans la direction  $\vec{d}$ , c'est à dire le sommet dont la projection sur  $\vec{d}$  est la plus grande. Il est à noter que grâce à la fonction de support il n'est pas nécessaire de calculer explicitement la différence de Minkowski [3], car  $S_{A \ominus B}(\vec{d}) = S_A(\vec{d}) - S_B(-\vec{d})$ .

La figure 4 illustre la succession d'étapes qui amènent à la détermination du point le plus proche de l'origine  $O$

- Le vertex  $A$  est choisi aléatoirement pour faire office de simplex de base. Le point du simplex actuellement le plus proche de l'origine ne peut que être  $A$ . On cherche un point de support dans la direction  $\vec{AO}$ .
- Le sommet le plus extrême dans la direction  $\vec{AO}$  est  $C$ , on l'ajoute au simplex. Le point du simplex actuellement le plus proche de l'origine est  $S_1$ .
- On cherche le vertex le plus extrême dans la direction  $\vec{S_1O}$ .
- Le point de support retourné est  $B$ , on l'ajoute au simplex. Le point du simplex le plus proche de l'origine est  $\vec{S_2}$ .
- Le vertex  $A$  n'est plus utile à la définition de  $\vec{S_2}$ , on le retire du simplex. On cherche le vertex le plus extrême dans la direction  $\vec{S_2O}$ .
- Aucun vertex n'est plus extrême que  $\vec{S_2}$  dans la direction  $\vec{S_2O}$ , c'est donc le point de  $M$  le plus proche de l'origine.

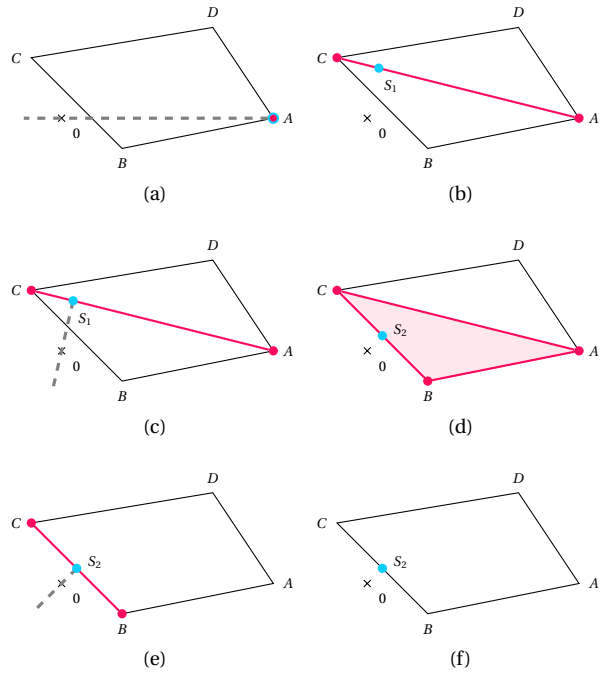


FIGURE 4 – Étapes de l'algorithme GJK fournissant la plus petite distance entre une différence de Minkowski et le centre du repère absolu.

### 3.2 Correction

À chaque mise à jour de la simulation, des corps sont susceptibles de se déplacer et donc d'entrer en contact les uns avec les autres. Le moteur simule ces évolutions par pas de temps fixe et il est donc improbable qu'une collision soit détectée au moment exact où elle se produit (c'est à dire à l'instant précis où les deux corps sont posés l'un contre l'autre). On est donc en permanence témoin de situations d'interpénétration au sein desquelles deux objets rentrent l'un dans l'autre (figure 5). On pourrait ignorer cette imprécision et malgré tout calculer les forces de rebond appropriées à ce contact mais plusieurs situations critiques risquent d'apparaître. On pense notamment au fait que la force de séparation calculée soit sensible à cette erreur et ne déplace pas assez les corps à l'itération suivante pour qu'ils soient séparés.

Pour trouver le point de contact réel entre deux objets en collision, il existe plusieurs approches. Les systèmes préférant favoriser le temps d'exécution au détriment du réalisme se contentent de repositionner les corps à un point de contact calculé en fonction

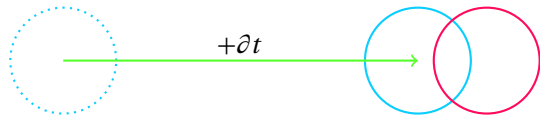


FIGURE 5 – Situation d'interpénétration due à l'intégration discrète.

de la profondeur de l'interpénétration. Mais même si la position de contact est corrigée par cette technique, il n'en sera pas de même pour les autres quantités physiques, notamment l'orientation, qui est plus complexe à manipuler. Même si la vitesse d'exécution est un facteur important dans nos choix de conception, nous allons prendre un chemin différent et sélectionner une méthode plus précise qui fonctionnera par retour en arrière.

La fonction d'intégration du moteur physique prend comme seul argument le pas de temps duquel faire avancer la simulation et pour l'instant on utilisait un pas constant. Or, une caractéristique intéressante de cette fonction et qu'elle peut prendre en argument un pas de temps négatif et simuler l'évolution d'un système en sens inverse. Cette possibilité nous permet notamment de revenir en arrière dans la simulation dès qu'une interpénétration est détectée et ce jusqu'à retrouver le point de contact exact. Le terme « exact » est à prendre avec des pincettes puisque le moteur physique est limité par l'arithmétique des nombres à virgules flottantes et que l'on doit se contenter d'un résultat validé par un seuil de tolérance adapté. Le pas de temps choisi devra correspondre à une fraction du pas de temps originel puisque le but de cette manœuvre est de déterminer à quel moment du pas de temps les corps sont réellement entrés en contact.

Usuellement, ce retour en arrière s'effectue en intégrant plusieurs fois la simulation par un pas de temps négatif et fixe, par exemple  $-\frac{\partial t}{10}$ . Néanmoins cette méthode s'adapte mal aux simulations contenant des objets évoluant à haute vitesse puisqu'en utilisant cette même fraction du pas de temps, un corps s'étant déplacé de dix mètres pendant l'intégration sera au moins recalé un mètre avant tout contact réel, même si la profondeur de pénétration n'était que de quelques centimètres.

Afin d'accélérer cette recherche et d'obtenir des résultats précis, on fait le choix de procéder par dichotomie. La recherche se compose de deux phases qui s'alternent jusqu'à la découverte d'une solution :

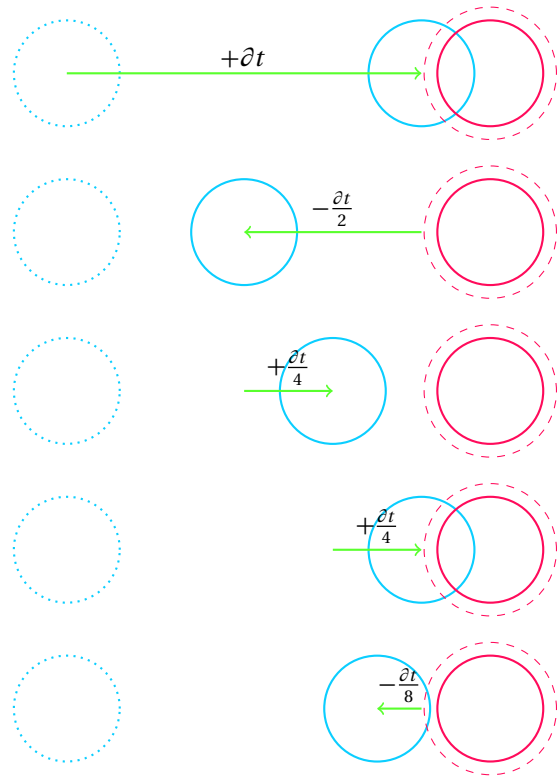


FIGURE 6 – Correction dichotomique de la configuration de contact.

la phase de recul consiste en un retour en arrière dans le temps tandis que la phase d'approche est un avancement. On commence la recherche par la phase de recul. On passe de recul à approche lorsque les corps n'entrent plus en collision. On passe d'approche à recul lorsque les corps entrent à nouveau en collision. Le sous-pas de temps employé est divisé par deux à chaque changement de phase. On considère avoir trouvé une configuration satisfaisante lorsqu'il n'y a plus d'interpénétration et que la distance entre les objets est inférieure à un seuil de tolérance prédéfini. Ce processus est visible sur la figure 6 et est détaillé dans l'algorithme 3.

Une fois ce processus achevé, la configuration de contact est retrouvée et les deux corps ne sont plus en situation de pénétration mutuelle. On remarque que grâce à cette technique, la position n'est pas la seule valeur à avoir été recalée : orientation, élan angulaire et linéaires sont eux aussi revenus aux valeurs qu'ils auraient dû atteindre à l'instant du contact.

---

**Algorithme 3** : Correction d'une collision

---

**Entrées** : Deux corps A et B,  
une phase  $P \in \{\text{RECUL}, \text{APPR}\}$   
un pas de temps  $\partial t$ ,  
un seuil de tolérance  $\theta$

**Sorties** : Deux corps A et B corrigés

$d = \text{distanceGJK}(A, B)$

**si**  $0 < d \leq \theta$  **alors**  
retourner A et B

**sinon si**  $d = 0$  **alors**

**si**  $P \neq \text{RECUL}$  **alors**  $\partial t_2 \leftarrow \frac{\partial t}{2}$  **sinon**  $\partial t_2 \leftarrow \partial t$

intégrer(A,  $-\partial t_2$ )

intégrer(B,  $-\partial t_2$ )

correction(A, B, RECUL,  $\partial t_2$ ,  $\theta$ )

**sinon**

**si**  $P \neq \text{APPR}$  **alors**  $\partial t_2 \leftarrow \frac{\partial t}{2}$  **sinon**  $\partial t_2 \leftarrow \partial t$

intégrer(A,  $\partial t_2$ )

intégrer(B,  $\partial t_2$ )

correction(A, B, APPR,  $\partial t_2$ ,  $\theta$ )

---

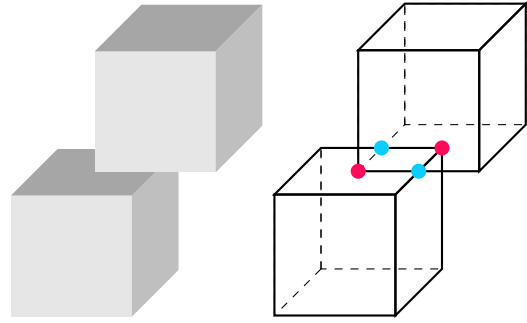


FIGURE 7 – Quatre points de contact entre deux cubes : deux sommet-face (en rose) et deux arête-arête (en bleu).

### 3.3 Réponse

Une fois que la collision entre deux solides est confirmée et que leurs états sont corrigés, il reste à rassembler toutes les informations nécessaires au calcul d'une réponse. Pour cela, on aura besoin de déterminer quels points précis des corps entrent en contact. Parfois, un seul point de contact peut exister, comme lors d'une collision entre deux sphères. Souvent, il en existera plusieurs. Un corps rigide est structuré par trois types d'élément : les sommets, les arêtes et les faces et il est usuellement admis que seuls les contacts sommet-face et arête-arête sont nécessaires à nos besoins. Les autres associations d'éléments peuvent être ramenées à des configurations dégénérées de ces deux cas. Par exemple, un contact entre une arête et une face peut être assimilée à deux contacts sommet-face, chaque sommet étant une extrémité de l'arête. La figure 7 illustre une configuration comprenant quatre points de contact.

Pour énumérer les points de contact entre deux corps, on effectue des tests de proximité entre chaque paire sommet-face et arête-arête. Cette phase repose sur plusieurs procédures géométriques utilitaires qui déterminent la plus faible distance entre deux éléments par projection. On considère que deux élé-

ments sont en contact si leur distance est inférieure à un seuil fixé qui doit être en accord avec celui utilisé lors de la correction de l'état collisionnel.

Nous référerons désormais aux informations concernant un point de contact entre deux corps en tant que *contact*. Un contact ne s'agit pas uniquement d'une unique position à laquelle deux corps se touchent, il doit aussi renseigner sur la direction de la collision et contiendra donc un vecteur normal  $\vec{n}$  qui variera selon le type de contact. Pour un contact sommet-face, il s'agira d'un vecteur normal à la face et dirigée vers le sommet. Pour un contact arête-arête, il s'agira d'un vecteur unité orthogonal aux deux arêtes, et donc de direction  $\vec{a}_1 \times \vec{a}_2$ , avec  $\vec{a}_1$  (respectivement  $\vec{a}_2$ ) le vecteur reliant les deux extrémités de la première (respectivement seconde) arête. Pour des raisons pratiques, on y adjoindra aussi une référence vers chacun des corps entrant en jeu dans la collision. Il reste une information supplémentaire à enregistrer : le temps de contact. Par temps de contact, on ne pense pas à la durée d'un contact, puisqu'ils sont instantanés dans cette simulation, mais au moment précis du pas de temps auquel le contact est apparu. On pourrait penser que, comme le pas de temps de la simulation est fixe, tous les contacts inexistant au temps  $t$  et apparus au temps  $t + \partial t$  auront un temps d'impact  $\partial t$  mais la routine de correction de l'état collisionnel doit être capable de cibler précisément le moment du contact. Cette information se révélera utile dans la dernière partie de ce rapport, lorsque l'on souhaitera s'assurer du bon ordonnancement des collisions.

Après chaque intégration et si deux corps entrent en collision, des forces de séparation devront

être générées pour annuler cette collision, on parle d'*impulsion* [9]. Une collision provoquera autant d'impulsions qu'il existe de contacts entre les deux objets considérés. Dans le cas d'une boîte cubique tombant à plat sur le sol, quatre points de contact seront détectés : les quatres sommets de la face basse du cube. À chacune de ces positions, une impulsion identique sera appliquée. Dans ce cas précis, on imagine que la masse de la boîte est également répartie et les quatre impulsions devront donc être égales et dirigées vers le haut afin de ne pas déséquilibrer l'objet et de produire un rebond droit.

Pour calculer une impulsion  $J$  séparant deux corps  $A$  et  $B$ , on utilise cette intimidante formule d'Isaac Newton, tirée de sa loi de la restitution des collisions instantanées sans friction :

$$J = \vec{n} \frac{-(1 + \varepsilon)v_r}{\frac{1}{m_A} + \frac{1}{m_B} + \vec{n}(I_A^{-1}(\vec{r}_A \times \vec{n})) \times \vec{r}_A + (I_B^{-1}(\vec{r}_B \times \vec{n})) \times \vec{r}_B}$$

On y voit apparaître plusieurs quantités présentées plus tôt, notamment les tenseurs d'inertie absolus de chaque corps impliqué dans la collision ainsi que leur masse. On observe que le vecteur normal  $\vec{n}$  enregistré lors de la recherche des points de contact y joue un rôle important puisqu'au final, l'impulsion correspondra au produit de  $\vec{n}$  et d'un scalaire. Plusieurs autres valeurs sont néanmoins encore inconnues et doivent être calculées à partir des informations de contact dont l'on dispose.

La vitesse relative normale  $v_r$  correspond à la composante de la vitesse relative des deux corps le long la normale du contact. On peut calculer la vitesse  $\vec{v}_l$  d'un point quelconque du repère absolu dans le repère local d'un corps avec la vitesse linéaire  $\vec{v}$  du corps, sa vitesse angulaire  $\vec{\omega}$ , la position  $\vec{C}$  de son centre de masse et la position  $\vec{p}_a$  du point dans le repère absolu.

$$\begin{aligned} \vec{v}_l &= \vec{v} + \vec{\omega} \times (\vec{p}_a - \vec{C}) \\ &= \frac{1}{m} \vec{L} + (I_a^{-1} \vec{A}) \times (\vec{p}_a - \vec{C}) \end{aligned}$$

Pour obtenir, la vitesse relative normale, il reste à projeter sur la normale du contact considéré la vitesse relative du point de contact par rapport aux référentiels des deux corps. Ici,  $\vec{v}_a$  et  $\vec{v}_b$  correspondent aux vitesses du point de contact par rapport aux repères locaux de  $A$  et de  $B$ .

$$v_r = \vec{n}(\vec{v}_A - \vec{v}_B)$$

Le coefficient de restitution  $\varepsilon$ , avec  $0 \leq \varepsilon \leq 1$ , détermine le taux de rebond d'un corps. Reprenons l'exemple de la balle de caoutchouc utilisé en guise d'étude de cas. Si  $\varepsilon = 1$ , la balle rebondira avec autant d'énergie qu'elle est arrivée ; une situation concrètement impossible à retrouver dans le monde réel. Si  $\varepsilon = 0$ , la balle repartira avec une énergie nulle ; autrement dit, elle restera collée au plan. Le coefficient de restitution dépend habituellement de la matière que l'on cherche à simuler : une balle en caoutchouc aura un  $\varepsilon$  élevé tandis qu'un bloc d'argile aura un  $\varepsilon$  proche de zéro. Dans le moteur physique, chaque objet possède son propre coefficient de restitution et on choisit d'utiliser le minimum des deux dans la formule de Newton.

Les vecteurs  $\vec{r}_A$  et  $\vec{r}_B$  correspondent aux positions du point de contact dans les référentiels respectifs des corps  $A$  et  $B$ .

Une fois l'impulsion calculée, il reste à l'appliquer à un des deux corps impliqué dans la collision et à appliquer son inverse à l'autre corps pour les séparer.

Il nous reste à traiter le cas des contacts de repos, c'est à dire les collisions entre solides posés l'un contre l'autre, comme par exemple une boîte placée sur la surface d'une table. Nous avons évoqué plus tôt le fait que les contacts de repos sont analogues aux contacts classiques dans la mesure où la séparation des deux corps sera exécutée par des impulsions. La seule différence vient du fait que dans ce cas, on forcera l'utilisation d'un coefficient de restitution nul, afin de produire des impulsions non-élastiques. Autrement dit, les objets seront séparés afin de d'éliminer toute interpénétration mais aucun rebond supplémentaire ne sera injecté dans la formule. Pour détecter s'il est nécessaire d'appliquer un tel traitement, on vérifie si la vitesse relative normale des objets considérés est inférieure à un seuil fixé.

Bien que ce choix permette de simuler le repos d'un corps, il souffre de défauts majeurs, notamment le fait qu'à cause de l'utilisation d'impulsions, si faibles soit-elles, on remarque un léger effet de vibration provoqué par les forces qu'un corps subit continuellement pour rester à la surface d'une autre. Parfois, un corps au repos accumulera même tellement d'énergie qu'un faible rebond sera perceptible. Ce type d'occurrence appauvrit grandement la stabilité du système. Pour les contrer, on désactive temporairement les objets en état de repos ; on parle de mise en sommeil. L'avantage est double puisqu'en plus d'améliorer la stabilité générale, on économise

les ressources car les corps endormis ne sont plus intégrés. Pour déterminer si un objet doit être mis en sommeil, on observe sa quantité d'énergie cinétique. L'énergie  $E_i$  d'une particule  $i$  est quantifiable, avec  $m$  sa masse et  $\vec{v}_i$  sa vitesse relative, par :

$$E_i = \frac{1}{2} m \vec{v}_i^2$$

On choisit d'examiner cette quantité car la vitesse relative dont elle dépend comprend les composantes linéaire et angulaire de sa vitesse. Pour connaître l'énergie cinétique d'un corps, on calcule la somme des énergies cinétiques de ses sommets.

$$E = \sum E_i$$

On ne peut pas se baser sur ce facteur de façon instantanée car un solide projeté en hauteur bénéficiera d'une énergie cinétique nulle au sommet de sa trajectoire et on ne voudrait pas l'endormir à ce moment. On surveille plutôt sa vitesse pendant un nombre fixé de mises à jour et on l'endort si elle reste faible assez longtemps. On réveille un corps quand un objet actif génère une collision avec ce dernier.

## 4 Le moteur physique

### 4.1 Algorithme général

Nous disposons désormais des briques de base nécessaires à la construction de l'algorithme général du moteur physique. Un appel à cette procédure intégrera les états de tous les corps de la simulation d'un pas de temps  $\partial t$  en tenant compte des interactions possibles. On part de l'hypothèse que tous les corps sont initialement séparés et donc qu'aucune inter-pénétration ne se produit au départ.

En premier lieu, on vérifie pour chaque paire de corps s'ils entrent en collision. Si tel est le cas, on corrige leur état puis on applique les impulsions adaptées. Ensuite, on administre des forces environnementales, telles que la gravité. Il ne reste plus qu'à intégrer l'état de tous les corps, c'est à dire mettre à jour leurs position et orientation en fonction des élans transmis par les impulsions et les forces extérieures. L'algorithme 4 résume cette organisation.

Cette structure simple fonctionne de façon satisfaisante lorsque la simulation comporte peu d'objets. Néanmoins, sa stabilité est fortement compromise lorsque de nombreux corps entrent en jeu et ce, pour plusieurs raisons.

---

#### Algorithme 4 : Boucle principale

---

**Entrées :** Un pas de temps  $\partial t$

```

pour chaque paire de corps  $(A,B)$  faire
  si collisionGrossiere  $(A,B)$  alors
    si collisionFine  $(A,B)$  alors
      corrigerCollision  $(A,B)$ 
       $C \leftarrow$  detecterContacts  $(A,B)$ 
      pour chaque contact  $c \in C$  faire
         $I \leftarrow$  calculerImpulsion  $(c)$ 
        appliquer  $(I, A)$ 
        appliquer  $(-I, B)$ 
pour chaque corps  $A$  faire
  appliquerForcesEnvironnementales  $(A)$ 
  integrer  $(A, \partial t)$ 

```

---

Depuis le début de la conception du moteur physique, nous détectons, corrigeons et traitons les collisions entre paire de corps. On part de l'hypothèse qu'au début de la simulation aucun solide n'entre en collision avec un autre et grâce à la phase de correction collisionnelle, cette hypothèse est vérifiée au début de chaque intégration. Un problème majeur de l'algorithme actuel est qu'il provoque des situation d'interpénétration non corrigeables, notamment lorsque des amas d'objets se forment. La sous-figure *a* de la figure 8 prend place au début d'une itération de la simulation. On y voit un corps  $A$ , attiré par la gravité, et s'étant enfoncé dans le sol. Le corps  $B$  subit quand à lui la même influence mais ne tombe pas assez bas pour qu'une collision avec  $A$  s'opère. La sous-figure *b* nous montre le résultat de la correction de l'interpénétration entre  $A$  et le sol et on remarque qu'une nouvelle collision entre  $B$  et  $A$  en découle. L'issue de cette situation dépend de  $B$  ; si sa phase de détection de collision est déjà passée alors il est déjà trop tard et  $A$  et  $B$  seront en état d'interpénétration à l'itération suivante et l'hypothèse de non-pénétration ne sera pas respectée. Le comportement de la simulation sera alors imprévisible. La stabilité du moteur physique est donc gravement dépendante de l'ordre arbitraire dans lequel les corps sont rangés et exécutent leur détection de collision.

De plus, l'organisation actuelle prive la simulation de toute cohérence temporelle. En effet, à chaque itération tous les corps avancent d'un pas de temps fixe  $\partial t$  mais l'état de ceux subissant une collision sera inmanquablement corrigé pour correspondre à l'état

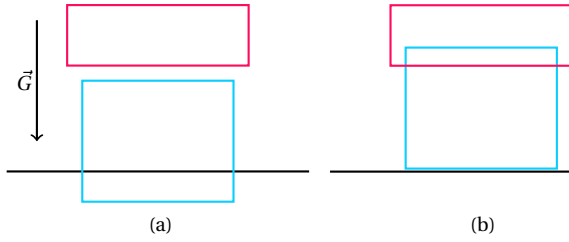


FIGURE 8 – Interpénétration collatéralement provoquée par une correction collisionnelle.

qu'ils auraient dû atteindre au moment du contact. On se retrouve ainsi avec des corps n'ayant pas subi de collision, côtoyant des corps en ayant subi et dont l'état correspond à un temps précédent.

Autre problème de taille : la simulation empruntera des chemins différents selon l'ordre dans lequel les collisions sont détectées. La figure 9 nous montre deux corps ainsi que la position qu'ils atteindraient à l'itération suivante si l'on ignorait les collisions (en pointillés). On peut aisément se rendre compte des conséquences de l'ordre dans lequel les objets sont traités. Si le corps bleu est traité en premier, il entrera en collision avec le corps rose, son état sera corrigé, et une impulsion sera plus tard générée pour séparer les deux corps. Au final, l'objet bleu sera projeté vers la gauche et le corps rose sera dévié de sa trajectoire originelle. Par contre, si c'est le corps rose qui est traité en premier, il avancera vers sa prochaine position, puis ce sera autour de l'autre corps de se déplacer. Puisque le corps rose ne se trouvera plus sur sa trajectoire, rien ne se passera.

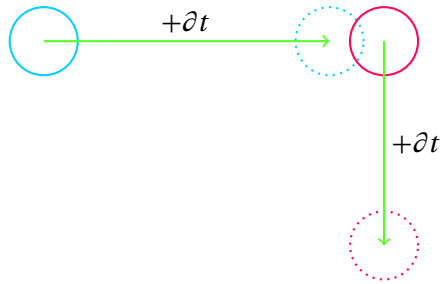


FIGURE 9 – Deux issues possibles selon l'ordre du traitement des collisions.

Tous les problèmes cités sont clairement liés à un manque de cohérence temporelle. Lors de l'utilisation d'un tel algorithme, on utilise un pas de temps

dit explicite [5]. Nous allons maintenant nous tourner vers une version améliorée, dont le pas de temps sera dit implicite.

L'algorithme 5 est plus solide dans la mesure où il détecte à chaque itération le temps du premier contact et intègre tous les corps de la simulation jusqu'à cet instant de façon à traiter les collisions dans leur ordre réel. Détaillons le fonctionnement de cette nouvelle méthodologie. En premier lieu, on copie chaque corps afin de s'assurer que les modifications qui vont suivre ne changent pas leur véritable état de départ. On avance ensuite l'état de chaque copie pour détecter si une collision se produira avec l'autre. Si tel est le cas, on corrige la pénétration et on détermine les informations de contact. À la fin de cette phase de prédiction, on dispose d'une liste de contacts potentiels qu'il est nécessaire de trier en fonction du temps d'impact. On intègre l'état de tous les objets d'un pas de temps égal au plus faible temps d'impact.

---

#### Algorithme 5 : Boucle principale améliorée

---

**Entrées :** Un pas de temps  $\partial t$

---

$C \leftarrow \emptyset$

**pour chaque** paire de corps  $(A, B)$  **faire**

$A_2 \leftarrow A$

$B_2 \leftarrow B$

appliquerForcesEnvironnementales( $A_2$ )

integrer( $A_2, \partial t$ )

appliquerForcesEnvironnementales( $B_2$ )

integrer( $B_2, \partial t$ )

**si** collisionGrossiere( $A_2, B_2$ ) **alors**

**si** collisionFine( $A_2, B_2$ ) **alors**

corrigerCollision( $A_2, B_2$ )

$C \leftarrow C \cup \text{detecterContacts}(A_2, B_2)$

trierContacts( $C$ )

$\partial t_2 \leftarrow \min(\partial t, C[0].t)$

**pour chaque** corps  $A$  **faire**

appliquerForcesEnvironnementales( $A$ )

integrer( $A, \partial t_2$ )

**pour chaque** contact  $c \in C | c.t = \partial t_2$  **faire**

$I \leftarrow \text{calculerImpulsion}(c)$

appliquer( $I, A$ )

appliquer( $-I, B$ )

---

Ce nouvel algorithme assure la cohérence temporelle car les corps sont maintenant tous intégrés à l'aide du même pas de temps à chaque itération. De



plus l'ordre des collisions est respecté puisqu'on se limite au traitement de celles apparaissant le plus tôt. Il se révèle tout de même moins économique que son prédécesseur dans la mesure où l'on intègre chaque corps non pas une fois, mais  $\frac{n(n-1)}{2}$  fois, avec  $n$  le nombre d'objets de la simulation. Ce coût supplémentaire est nécessaire si l'on veut obtenir des informations de contact isolées à une paire de corps et ignorant les autres objets.

## 4.2 Démonstrations

### Simulation basique

Commençons par mettre en place une simulation basique faisant intervenir la gravité. Un cube est fixé sur une plate-forme et on fait apparaître une boîte à quelques mètres de hauteur. Son comportement est commenté sur la figure 10.

#### Pachinko

Le pachinko est un jeu de hasard japonais dans lequel des billes métalliques sont lâchées dans un parcours vertical parsemé de tiges les déviant de leur trajectoire. Selon le chemin qu'elles empruntent, de nouvelles billes peuvent être remportées, à la manière d'une machine à sous.

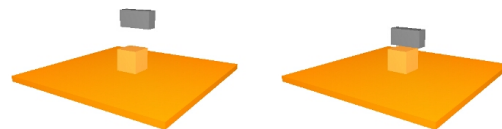
Utilisons l'exemple de la machine à Pachinko pour illustrer les capacités de notre moteur physique. Différentes étapes d'une chute de billes sont commentées sur la figure 11.

## 4.3 Perspectives d'évolution

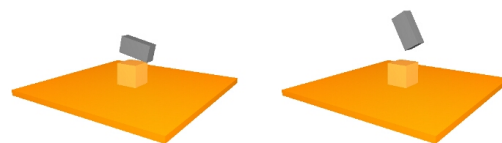
### 4.3.1 Tunneling

Le moteur physique que nous concevons fonctionne par intégration discrète et si aucun contrôle n'est effectué pour contrecarrer les effets négatifs de cette caractéristique, on risque d'obtenir des résultats imprécis ou pire, complètement éloignés de ce que l'on retrouverait dans la réalité. On a par exemple vu plus tôt qu'une phase de recherche dichotomique est nécessaire pour recalculer les corps à leur position réelle de contact lorsqu'une collision est détectée.

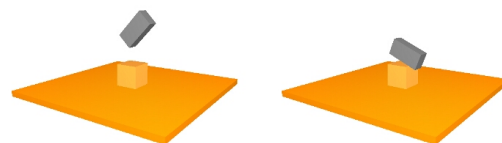
Néanmoins, une éventualité n'a pas été envisagée : que se passerait-il si un objet en traversait entièrement un autre pendant un pas de temps ? On peut imaginer un objet  $A$  lancé vers un autre objet  $B$  fixe. À l'instant  $t$ ,  $A$  n'entre pas en collision avec  $B$  mais



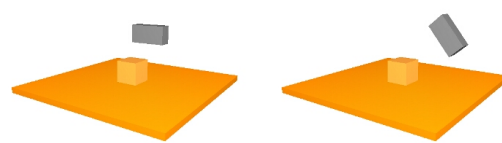
(a) La boîte dispose initialement d'une vitesse nulle mais accélère rapidement vers le bas sous l'influence de la gravité.



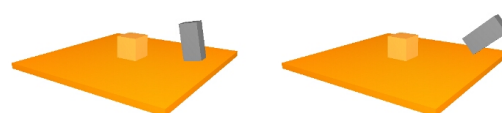
(b) La boîte entre en contact avec le cube. Comme les points de contact sont excentrés par rapport à son centre de masse, une rotation s'en suit.



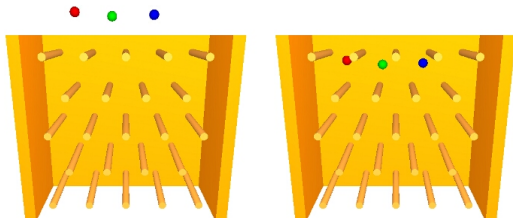
(c) Au sommet de la trajectoire, la gravité reprend le dessus et la boîte redescend vers le cube.



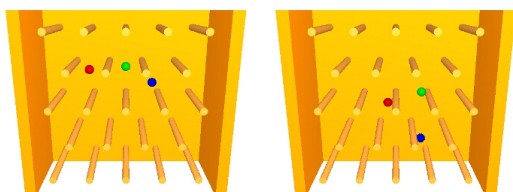
(d) La boîte rebondit à nouveau sur le cube. Cette fois ci, sa vitesse angulaire la projette vers l'extérieur.



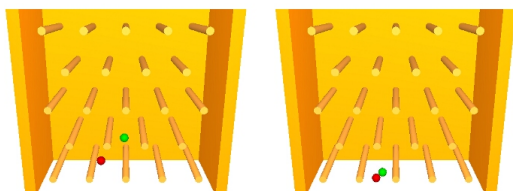
(e) La boîte entre en collision avec le sol et rebondit pour finir sa course dans le vide.



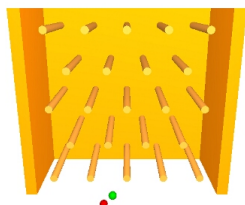
(a) Les billes disposent initialement d'une vitesse nulle mais accélèrent rapidement vers le bas sous l'influence de la gravité. Elles passent la première rangée de tige sans qu'aucune collision ne s'opère.



(b) La trajectoire de la bille rouge est déviée par une tige. Il en est de même pour la bille verte. Elles sont toutes deux projetées vers d'autres tiges. La bille bleue continue son chemin sans n'avoir encore touché aucune tige.



(c) La bille bleue est sortie de la machine à pachinko. Les deux autres billes se dirigent l'une vers l'autre jusqu'à ce qu'elles entrent en contact.



(d) Les billes restantes sont séparées et continuent leur course dans le vide.

FIGURE 11

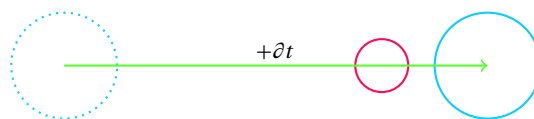


FIGURE 12 – Le phénomène du tunneling apparaît lorsqu'un objet va trop vite pour que les collisions entre deux intégrations soit détectées.

se dirige dans sa direction. À l'instant  $t + \partial t$ ,  $A$  a entièrement traversé  $B$ . À aucun de ces deux instants une collision n'a été détectée et pourtant  $A$  est impunément passé à travers  $B$ . Le pas de temps utilisé pour réguler l'intégration du système était donc trop faible pour s'assurer des collisions entre corps évoluant à haute vitesse. Ce phénomène est appelé *tunneling* et est visible sur la figure 12. À l'heure de l'écriture de ce rapport, le moteur physique est sensible à ce genre de situation. Réellement, ce cas ne se produit pas, puisque les simulations développées représentent des situations terrestres qui font participer des forces d'opposition telles que le frottement de l'air et donc les corps n'atteignent jamais de vitesses démesurées. On souhaite tout de même disposer d'un moteur physique solide et versatile, évaluons les possibilités qui s'offrent à nous pour pallier ce problème.

On pourrait envisager de diminuer la durée du pas de temps d'intégration afin de diminuer le risque de tunneling, mais même si un pas de temps faible améliore la qualité des résultats, il ne pourra pas être indéfiniment réduit. Il est principalement limité par le temps de calcul d'une mise à jour du système, puisqu'à partir du moment où  $\partial t$  est inférieur au temps moyen nécessaire à une machine pour calculer une itération de la simulation, le programme perdra son statut d'application temps réel.

Une technique usuellement admise est le lancer de rayons (*raycasting*) entre les points de la position de départ du solide et les points de sa position d'arrivée (figure 13). Si l'un des rayons touche un autre corps, on sait qu'une collision aurait dû être détectée et on peut revenir en arrière. Cette méthode présente pourtant une faiblesse de taille, car le résultat de cette recherche dépend directement de la concentration de rayons. Si on lance peu de rayons, on risque de ne pas détecter les corps de petite taille et donc de les traverser tandis qu'une concentration élevée de rayons pourrait se révéler regrettable en terme de coûts de calcul.



FIGURE 13 – Lancer de rayons pour la détection d’effet de tunneling.

La technique de la détection de collision continue (*continuous collision detection*) permet de contrôler de façon certaine tout phénomène de tunneling (figure 14). L’idée est la suivante : soit deux corps  $A$  et  $B$  dont l’on veut détecter l’éventuelle collision. On construit deux volumes fantômes  $C_A$  et  $C_B$  englobant tous les points par lesquels passent respectivement  $A$  et  $B$  entre deux intégrations. Ces volumes n’interviendront pas dans les collisions des autres objets de la simulation, et on vérifie simplement s’ils entrent tous deux en collision. Si tel est le cas, alors on sait qu’il est possible qu’un tunneling se soit produit et on peut revenir en arrière jusqu’à ce que le problème soit résolu. Pour accélérer cette phase, il est envisageable d’utiliser des boîtes englobantes de la même façon que lors de la détection grossière de collision. L’un des avantages majeurs de cette méthode, en plus de sa certitude de ne manquer aucun tunneling, est sa simplicité de mise en place puisque toutes les routines de détection et de retour en arrière utilisées ont déjà été écrites et entrent en jeu dans le fonctionnement de base du moteur physique.

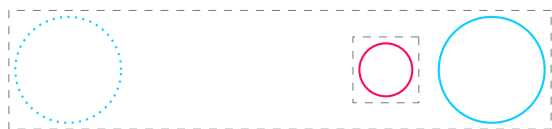


FIGURE 14 – Utilisation de boîtes englobantes pour la détection de tunneling.

#### 4.3.2 Partitionnement de l’espace

Comme mis en avant tout au long de ce rapport, on cherche à concevoir un moteur physique dont la rapidité d’exécution est un facteur déterminant. Dans cette optique, il est primordial d’optimiser les routines géométriques entrant en jeu mais aussi d’éviter leur exécution inutile dès que possible. La détection des collisions entre les corps qui peuplent notre système se déroule en deux étapes : une détection grossière visant à vérifier de façon économique si

deux objets se touchent et une détection fine servant à confirmer ou à infirmer de façon sûre ce résultat. Bien que la détection grossière soit peu coûteuse en termes de calcul, elle est exécutée pour  $n$  corps au minimum  $\frac{n(n-1)}{2}$  fois à chaque itération, et ce sans compter les détections de collision exécutées pendant la recherche dichotomique de l’état de contact. Pourtant, il est très souvent inutile de détecter si deux objets sont en situation d’interpénétration, par exemple lorsque la distance les séparant est grande. Il serait tout à notre avantage d’ajouter au moteur une couche supplémentaire tenant compte de ces disparités spatiales pour accélérer la phase de détection de collision.

Le principe général du partitionnement de l’espace (*spatial partitioning*) est de subdiviser l’environnement de la simulation en sous-espaces. La répartition des corps dans ces sous-espaces dépend bien évidemment de leur position dans le repère global mais aussi du volume qu’ils occupent. On est certain que seules les entités appartenant à un même sous-espace peuvent interagir entre elles, on dispose donc d’une aide quant au choix des objets entre lesquels vérifier si collision il y a.

Sous sa forme la plus simple, le partitionnement de l’espace prend la forme d’une grille de taille fixe dans les cases de laquelle les corps de la simulation sont répartis. L’aspect statique d’une telle structure présente plusieurs inconvénients majeurs, notamment le fait que le gain de performance variera fortement selon le nombre d’objets considérés, leur taille et la finesse de la grille. Par exemple, si une grille a des cases trop grandes, chacune contiendra de nombreux objets et le gain de performance sera peu flagrant. Si au contraire les cases de la grille sont trop petites, les plus grands objets ne pourront pas rentrer dans leur intégralité à l’intérieur d’une unique case. Une solution à ce problème est de ranger un même objet dans plusieurs cases adjacentes de la grille, mais une fois encore, si des corps sont démultipliés de la sorte, le temps de maintenance d’une telle structure sera augmenté.

Une variante plus subtile de partitionnement de l’espace est l’utilisation d’*octrees* (*quadrees* en deux dimensions) [8]. Cette structure de données prend la forme d’un arbre représentant l’espace à subdiviser. Chaque nœud de l’arbre possède huit fils, chacun correspondant à un octant du volume de leur père. La racine de l’arbre est associée au volume complet de l’environnement que l’on souhaite diviser. Lorsqu’un

corps est introduit dans la simulation, il faut le ranger dans l'arbre. Pour ce faire, on part de la racine et on descend récursivement jusqu'à une feuille de l'arbre en se guidant dans les embranchements selon la position et le volume de l'objet à insérer. L'octree n'est pas nécessairement équilibré et plus une zone contient de corps et plus elle pourra être subdivisée.

Cette structure sert à stocker les corps de la simulation, et si nous l'implémentions elle remplacerait la liste qui contient nos objets et dont l'ordre est actuellement arbitraire. Elle devient particulièrement intéressante lors de la phase de détection de collision car il n'est plus désormais nécessaire de tester tous les corps deux à deux ; il suffit de vérifier les collisions entre les corps du même sous-espace, autrement dit avec tous ceux contenus dans la même feuille.

## **5 Conclusion**

TODO

## **Remerciements**

Je tiens à remercier tout particulièrement Jean-Luc Ponty, mon tuteur dans le cadre de ce projet, pour l'attention qu'il lui a apportée ainsi que pour son aimable correction.

Je remercie aussi Eric Sanlaville, responsable de la première année de master Informatique, qui a autorisé la poursuite de ce projet bien qu'il soit issu d'un vœu personnel.

Un grand merci à Maureen et à Florent pour les corrections et conseils qu'ils m'ont prodigués.

## Références

- [1] Benedikt BITTERLI. *A Verlet Based Approach for 2D Game Physics*. 2009. URL : [http://www.gamedev.net/page/resources/\\_/feature/fprogramming/a-verlet-based-approach-for-2d-game-physics-r2714?](http://www.gamedev.net/page/resources/_/feature/fprogramming/a-verlet-based-approach-for-2d-game-physics-r2714?).
- [2] David EBERLY. *Game Physics*. Morgan Kaufmann, 2004.
- [3] Christer ERICSON. *Real-Time Collision detection*. Morgan Kaufmann, 2005.
- [4] Glen FIEDLER. *Integration Basics*. 2006. URL : <http://gafferongames.com/games-physics/integration-basics/>.
- [5] Helmut GARSTENAUER. *A Unified Framework for Rigid Body Dynamics*. 2006.
- [6] George Brown Arfken HANS-JURGEN WEBER. *Essential Mathematical Methods for Physicists*. Academic Press, 2003.
- [7] Chris HECKER. “Physics, The Next Frontier”. Dans : *Game Developer* (oct. 1997).
- [8] Ian MILLINGTON. *Game Physics Engine Development*. Morgan Kaufmann, 2007.
- [9] Brian Vincent MIRTICH. “Impulse-based Dynamic simulation of Rigid Body System”. Thèse de doct. University of California at Berkeley, 1996.
- [10] Isaac NEWTON. *Philosophiæ Naturalis Principia Mathematica*. 1687.
- [11] Andrew WITKIT et David BARAFF. *An Introduction to Physically Based Modeling*. Rap. tech. Carnegie Mellon University, 1997.